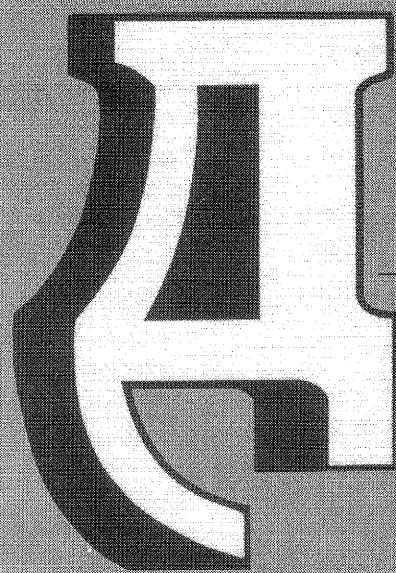


ISSN 1025-6415



# ОПОВІДІ

НАЦІОНАЛЬНОЇ  
АКАДЕМІЇ НАУК  
УКРАЇНИ

МАТЕМАТИКА  
ПРИРОДОЗНАВСТВО  
ТЕХНІЧНІ НАУКИ

ГОЛОВНИЙ  
РЕДАКТОР ЖУРНАЛУ  
академік НАН УКРАЇНИ  
П.Г. КОСТЮК

8  
2006

лактозовмісних поліуретанових еластомерів з іммобілізованим амізоном характеризуються повільним перебігом біодеструкції, який супроводжується тривалим збереженням міцності при розриві (до шести місяців дослідження) з одночасним зростанням відносного подовження. Полімерні лікарські форми з піроксикамом мають більшу здатність до біодеструкції. Чим нижчий вміст лактозовмісного фрагменту в структурі поліуретанового еластомеру, тим швидше і глибше проходить цей процес в модельному середовищі 199. Полімери й лікарські форми, які взагалі не містять лактозовмісних фрагментів (зразки Р22, Р22-2П, Р22-6А), досягають найвищого рівня деструкції.

1. Resiak I., Rokicki G. Modified polyurethanes for biomedical application // Polymers. – 2000. – **45**, No 9. – P. 592–602.
2. Measurement of 2, 4-toluenediamine in Urine and Serum Samples from Women with Meme or Replicon Breast Implants // Plast. and Reconstruc. Surgery. – 1997. – **100**, No 5. – 1291–1298.
3. Woo G. L. Y., Mittelman M. W., Santerre J. P. Synthesis and characterization of a novel biodegradable antimicrobial polymer // Biomater. – 2000. – **21**. – 1235–1246.
4. Липатова Т. Э., Пхакадзе Г. А. Полимеры в эндопротезировании. – Киев: Наук. думка, 1983. – 160 с.
5. Рожнова Р. А., Замуліна Л. І., Галатенко Н. А., Гладир І. І. Синтез та дослідження лактозовмісних поліуретанових еластомерів // Доп. НАН України. – 2005. – № 11. – С. 182–186.
6. Рожнова Р. А., Галатенко Н. А., Левенец Е. Г. та ін. Исследование новых биологически активных сегментированных полиуретановых эластомеров для оболочек гидрофильных имплантатов // Полимер. журн. – 2004. – **26**, № 3. – С. 215–219.
7. Храновский В. А., Куценко О. М., Гриценко Т. М. и др. Водородная связь и ИК-спектры полиуретанов // Докл. АН СССР. – 1985. – **285**, № 1. – С. 150–154.
8. Жерновая Л. Н., Галатенко Н. А., Храновский В. А. Изучение биостабильности фторированных полиуретанов // Композиц. полимер. материалы. – 2000. – № 1. – С. 26–30.

Інститут хімії високомолекулярних сполук  
НАН України, Київ

Надійшло до редакції 07.02.2006

УДК 548.312.3

© 2006

Ю. О. Тітов, Н. М. Бєлявіна, В. Я. Марків,  
член-кореспондент НАН України М. С. Слободянік, В. В. Чумак

## Кристалічна структура $\text{Ln}_5\text{Ti}_4\text{GaO}_{17}$ ( $\text{Ln} = \text{Pr, Nd}$ )

*The crystal slab perovskite-like structures (LPS) of compounds  $\text{Ln}_5\text{Ti}_4\text{GaO}_{17}$  ( $\text{Ln} = \text{Pr, Nd}$ ) have been determined by X-ray powder diffraction. The peculiarities of the LPS structures of the synthesized and known gallium and iron containing compounds and phases of the  $\text{A}_n\text{B}_n\text{O}_{3n+2}$  – type have been analyzed.*

Підвищений інтерес до сполук з шаруватою первовскітоподібною структурою (ІПС) загального складу  $\text{A}_n\text{B}_n\text{O}_{3n+2}$  ( $\text{A} = \text{Ca, Sr, La} - \text{Sm, Na, Cd, Pb}; \text{B} = \text{Ti, Nb, Ta, Al, Cr, Ga, Fe, Sc}; n = 2-6$ , де  $n$  – число шарів октаедрів  $\text{BO}_6$  в первовскітоподібному блоці) обумовлений наявністю в них комплексу електрофізичних, оптичних та каталітичних властивостей [1, 2].

Аналіз даних про будову відомих сполук типу  $A_nB_nO_{3n+2}$  показав, що кристалічна структура товстоблочних ( $n > 4$ ) представників цього сімейства визначена лише для таких сполук, в яких за атоми типу В виступають виключно атоми  $d$ -елементів (Ti, Nb, Fe) [1–6]. В той самий час одним із факторів, який істотно впливає на властивості та кристалічну структуру представників зазначеного класу сполук, є електронна будова атомів у А- та В-позиціях їх ШПС.

Мета даної роботи — визначення кристалічної структури перших п'ятишарових сполук типу  $A_nB_nO_{3n+2}$  з атомами  $p$ -елемента в В-підрешітці ШПС —  $Ln_5Ti_4GaO_{17}$  ( $Ln = Pr, Nd$ ).

Полікристалічні зразки  $Ln_5Ti_4GaO_{17}$  ( $Ln = Pr, Nd$ ) синтезували за описаною в [7] методикою, шляхом термообробки ( $T = 1620$  К,  $\tau = 2$  год) шихти сумісноосаджених гідроксооксалатів із співвідношенням  $Ln : Ti : Ga = 5 : 4 : 1$ . Рентгенівські дифракційні спектри  $Ln_5Ti_4GaO_{17}$  записано на дифрактометрі ДРОН-3 у дискретному режимі (крок сканування  $0,03^\circ$ , експозиція в точці 5 с) на мідному фільтрованому випромінюванні. Управління процесом зйомки та збором інформації, початкова обробка дифрактограм, а також структурні розрахунки виконано з використанням апаратно-програмного комплексу [8].

Дифрактограми  $Ln_5Ti_4GaO_{17}$  ( $Ln = Pr, Nd$ ) подібні до дифрактограм відповідних п'ятишарових сполук  $Ln_5Ti_4FeO_{17}$ . Їх індексування показало належність кристалічних структур  $Ln_5Ti_4GaO_{17}$  ( $Ln = Pr, Nd$ ) до моноклінної сингонії. Систематика погасань відбитків на дифрактограмах  $Ln_5Ti_4GaO_{17}$  ( $Ln = Pr, Nd$ ) відповідає центросиметричній просторовій групі  $P2_1/b$ .

Початкову оцінку координатних параметрів атомів для вихідних моноклінних моделей структур  $Ln_5Ti_4GaO_{17}$  ( $Ln = Pr, Nd$ ) проведено за відомими структурними даними для  $Pr_5Ti_4FeO_{17}$  й  $Nd_5Ti_4FeO_{17}$  (пр. гр.  $P2_1/b$ ) [6].

Результати уточнення координатних та теплових параметрів структур  $Ln_5Ti_4GaO_{17}$  ( $Ln = Pr, Nd$ ), а також дифракційні дані наведено у табл. 1, 2 та на рис. 1, 2. Уточнений при розрахунку структури склад сполук у межах похиби визначення відповідає експериментально заданому.

ШПС  $Ln_5Ti_4GaO_{17}$  ( $Ln = Pr, Nd$ ), як і для всіх представників сімейства сполук типу  $A_nB_nO_{3n+2}$ , утворена двовимірними перовскітоподібними блоками, кожний з яких складається з п'яти шарів деформованих октаедрів, з'єднаних лише вершинами. Блоки зміщені один відносно одного в напрямі осі  $X$  на половину ребра перовскітового кубу і послідовно чергуються вздовж осі  $Y$  (рис. 2). Безпосередній зв'язок між октаедрами  $TiO_6$ , які знаходяться на границях сусідніх перовскітоподібних блоків, відсутній. Блоки з'єднані за допомогою зв'язків  $-O - Ln - O-$ . Координаційні поліедри внутрішньоблочних атомів  $Ln$  (3),  $Ln$  (4) та  $Ln$  (5) є деформованими кубооктаедрами. Необхідність утворення зв'язків  $-O - Ln - O-$  для зв'язування сусідніх перовскітоподібних блоків між собою зумовлює зсув зовнішньоблочних атомів  $Ln$  (1) й  $Ln$  (2) із кубооктаедричних пустот майже до границі перовскітоподібного блока. Внаслідок цього координаційні числа атомів  $Ln$  (1) і  $Ln$  (2) є меншими за 12, а в їх оточенні, крім атомів кисню їхнього власного блока, входять по два атоми кисню ( $O_7, O_{12}$  для  $Ln$  (1) та  $O_6, O_{13}$  для  $Ln$  (2)) прилеглого блока.

Зіставлення даних про будову  $Ln_5Ti_4GaO_{17}$  ( $Ln = Pr, Nd$ ) та аналогічних за складом відомих п'ятишарових сполук  $Ln_5Ti_4B^{III}O_{17}$  ( $Ln = La, Pr, Nd; B^{III} = Fe$ ) [6] показало існування певної різниці в характері локалізації атомів  $B^{III}$  в октаедричних позиціях їх перовскітоподібних блоків. У ШПС  $Ln_5Ti_4FeO_{17}$  всі атоми заліза упорядковано розташовані лише в центрі перовскітоподібного блока, причому позиції в центрі блока заселені виключ-

но атомами заліза. В ШПС  $\text{Ln}_5\text{Ti}_4\text{GaO}_{17}$  ( $\text{Ln} = \text{Pr, Nd}$ ) атоми галію теж розташовані в центральній частині блока, але більш розосереджені, займають половину центральних і чверть проміжних позицій перовскітогоподібних блоків. Октаедричні позиції на краю блока в ШПС усіх сполук типу  $\text{Ln}_5\text{Ti}_4\text{B}^{\text{III}}\text{O}_{17}$  ( $\text{Ln} = \text{La, Pr, Nd, B}^{\text{III}} = \text{Fe, Ga}$ ) заселені виключно атомами титану.

Аналіз даних про будову решти відомих  $\text{Fe-}, \text{Ga-вмісних}$  представників сімейства сполук типу  $\text{A}_n\text{B}_n\text{O}_{3n+2}$  (четиришарових фаз  $\text{La}_4\text{Ti}_{4-x}\text{B}_{x/2}^{\text{III}}\text{Nb}_{x/2}\text{O}_{14}$  ( $\text{B}^{\text{III}} = \text{Fe, Ga}$ ) [9, 10]) показав, що входження атомів  $\text{B}^{\text{III}}$  у четиришарову ШПС відбувається шляхом їх розта-

Таблиця 1. Структурні дані  $\text{Ln}_5\text{Ti}_4\text{GaO}_{17}$  ( $\text{Ln} = \text{Pr, Nd}$ )

Позиція	Атом	Заповнення	$\text{Pr}_5\text{Ti}_4\text{GaO}_{17}$			$\text{Nd}_5\text{Ti}_4\text{GaO}_{17}$		
			X	Y	Z	X	Y	Z
4e	Ln1	1	0,349(4)	0,2020(3)	0,534(3)	0,342(3)	0,2017(2)	0,548(2)
4e	Ln2	1	0,857(3)	0,2211(3)	0,601(2)	0,858(4)	0,2191(3)	0,621(1)
4e	Ln3	1	0,25	0,5	-0,006(2)	0,25	0,5	-0,009(4)
4e	Ln4	1	0,194(4)	0,4118(5)	0,513(5)	0,212(4)	0,4156(4)	0,505(3)
4e	Ln5	1	0,710(2)	0,4089(4)	0,507(4)	0,719(3)	0,4131(4)	0,519(3)
4e	Ti1	1	0,378(3)	0,3187(4)	0,544(5)	0,416(5)	0,3170(3)	0,553(3)
4e	Ti2	1	0,890(2)	0,3187(4)	0,544(5)	0,901(4)	0,3170(3)	0,553(3)
4e	Ti3	0,5	0,442(3)	0,4051(5)	0,019(4)	0,454(5)	0,4019(3)	0,014(3)
4e	Ga3	0,5	0,442(3)	0,4051(5)	0,019(4)	0,454(5)	0,4019(3)	0,014(3)
4e	Ti4	1	0,950(4)	0,4051(5)	0,019(4)	0,952(6)	0,4019(3)	0,014(3)
2a	Ti5	1	0	0,5	0,5	0	0,5	0,5
2d	Ga6	1	0,5	0,5	0,5	0,5	0,5	0,5
4e	O1	1	0,502(5)	0,536(2)	0,201(4)	0,510(4)	0,534(2)	0,150(4)
4e	O2	1	0,009(4)	0,537(3)	0,195(5)	0,010(4)	0,537(3)	0,170(5)
4e	O3	1	0	0,453(3)	0,304(5)	0	0,453(4)	0,285(5)
4e	O4	1	0,5	0,452(2)	0,310(5)	0,5	0,452(2)	0,285(6)
4e	O5	1	0,25	0,5	0,434(6)	0,25	0,5	0,441(7)
4e	O6	1	0,094(4)	0,212(3)	0,324(7)	0,090(5)	0,215(2)	0,329(6)
4e	O7	1	0,616(5)	0,213(2)	0,321(5)	0,616(6)	0,217(3)	0,321(4)
4e	O8	1	0,065(3)	0,121(1)	0,199(4)	0,055(4)	0,121(4)	0,200(5)
4e	O9	1	0,556(5)	0,120(3)	0,191(7)	0,553(5)	0,120(1)	0,185(4)
4e	O10	1	0,074(5)	0,137(2)	0,755(5)	0,074(6)	0,138(3)	0,755(6)
4e	O11	1	0,576(4)	0,135(3)	0,770(6)	0,580(3)	0,138(3)	0,759(5)
4e	O12	1	0,416(5)	0,276(3)	0,320(5)	0,429(5)	0,274(4)	0,327(5)
4e	O13	1	0,856(7)	0,276(1)	0,315(4)	0,860(5)	0,274(3)	0,315(6)
4e	O14	1	0,160(5)	0,334(2)	0,550(7)	0,167(4)	0,334(2)	0,556(5)
4e	O15	1	0,651(6)	0,336(4)	0,590(5)	0,652(6)	0,336(3)	0,550(4)
4e	O16	1	0,200(5)	0,401(3)	0,037(6)	0,206(6)	0,405(2)	0,073(6)
4e	O17	1	0,699(6)	0,408(2)	0,029(5)	0,709(5)	0,404(3)	0,022(5)
Сполука			$\text{Pr}_5\text{Ti}_4\text{GaO}_{17}$			$\text{Nd}_5\text{Ti}_4\text{GaO}_{17}$		
Просторова група			$\text{P}2_1/\text{b}$ (№ 14)			$\text{P}2_1/\text{b}$ (№ 14)		
Періоди елементарної решітки, нм			$a = 0,7726(2)$			$a = 0,7689(1)$		
			$b = 3,1455(5)$			$b = 3,1438(5)$		
			$c = 0,54708(9)$			$c = 0,5456(1)$		
			$\angle\gamma = 96,993(8)$			$\angle\gamma = 97,03(1)$		
Незалежні відбиття			521			489		
Загальний ізотропний В фактор, $\text{нм}^2$			$0,74(3) \cdot 10^{-2}$			$1,27(3) \cdot 10^{-2}$		
Фактор недостовірності			$R_W = 0,082$			$R_W = 0,078$		

*Таблиця 2.* Деякі міжатомні відстані та ступінь деформації поліедрів  $\text{MeO}_n$  ( $\Delta$ ) в кристалічній структурі  $\text{Ln}_5\text{Ti}_4\text{GaO}_{17}$  ( $\text{Ln} = \text{Pr, Nd}$ )

АТОМ	$\text{Pr}_5\text{Ti}_4\text{GaO}_{17}$	$\text{Nd}_5\text{Ti}_4\text{GaO}_{17}$	АТОМ	$\text{Pr}_5\text{Ti}_4\text{GaO}_{17}$	$\text{Nd}_5\text{Ti}_4\text{GaO}_{17}$
	<i>d</i> , нм	<i>d</i> , нм		<i>d</i> , нм	<i>d</i> , нм
1	2	3	4	5	6
$\text{Ln}(1) - \text{O}(6)$	0,234(4)	0,236(2)	$\text{Ln}(5) - \text{O}(10)$	0,271(3)	0,280(3)
– O(7)	0,236(4)	0,244(4)	– O(3)	0,272(3)	0,269(2)
– O(13)	0,237(1)	0,233(3)	– O(11)	0,278(3)	0,299(2)
– O(12)	0,243(2)	0,238(1)	– O(17)	0,286(3)	0,276(2)
– O(12)*	0,260(3)	0,259(1)	– O(5)	0,286(1)	0,272(2)
– O(15)	0,271(2)	0,297(1)	– O(1)	0,299(2)	0,314(2)
– O(10)	0,302(2)	0,292(3)	– O(2)	0,306(2)	0,298(3)
– O(7)*	0,308(2)	0,294(3)	$\text{Ln}(5) - \text{O}_{\text{cep.}}$	0,268	0,272
– O(11)	0,318(3)	0,309(2)	$\Delta\text{Ln}(5)\text{O}_{12}$	$83 \cdot 10^{-4}$	$73 \cdot 10^{-4}$
– O(15)	0,327(2)	0,299(1)			
$\text{Ln}(1) - \text{O}_{\text{cep.}}$	0,274	0,270	$\text{Ti}(1) - \text{O}(14)$	0,181(3)	0,205(3)
$\Delta\text{Ln}(1)\text{O}_{10}$	$164 \cdot 10^{-4}$	$116 \cdot 10^{-4}$	– O(7)	0,182(1)	0,181(3)
			– O(12)	0,187(1)	0,184(1)
$\text{Ln}(2) - \text{O}(13)^*$	0,233(1)	0,240(3)	– O(11)	0,209(1)	0,214(1)
– O(7)	0,240(4)	0,247(4)	– O(9)	0,209(1)	0,209(1)
– O(6)	0,242(4)	0,240(3)	– O(15)	0,212(2)	0,184(2)
– O(6)*	0,242(3)	0,235(1)	$\text{Ti}(1) - \text{O}_{\text{cep.}}$	0,197	0,196
– O(12)	0,244(3)	0,251(2)	$\Delta\text{Ti}(1)\text{O}_6$	$47 \cdot 10^{-4}$	$47 \cdot 10^{-4}$
– O(13)	0,250(1)	0,239(2)			
– O(14)	0,300(1)	0,290(2)	$\text{Ti}(2) - \text{O}(6)$	0,182(1)	0,182(1)
$\text{Ln}(2) - \text{O}_{\text{cep.}}$	0,250	0,249	$\text{Ti}(2) - \text{O}(13)$	0,184(1)	0,188(2)
$\Delta\text{Ln}(2)\text{O}_7$	$70 \cdot 10^{-4}$	$58 \cdot 10^{-4}$	$\text{Ti}(2) - \text{O}(15)$	0,200(2)	0,207(2)
			– O(8)	0,207(3)	0,201(1)
$\text{Ln}(3) - \text{O}(5)$	0,241(3)	0,246(1)	– O(14)	0,209(2)	0,205(3)
– O(1)	0,241(2)	0,232(2)	– O(10)	0,211(3)	0,215(2)
– O(2)	0,242(3)	0,236(3)	$\text{Ti}(2) - \text{O}_{\text{cep.}}$	0,199	0,200
– O(2)	0,256(3)	0,250(3)	$\Delta\text{Ti}(2)\text{O}_6$	$35 \cdot 10^{-4}$	$32 \cdot 10^{-4}$
– O(1)	0,257(2)	0,237(2)			
– O(4)	0,284(2)	0,274(1)	(Ti, Ga)(3) – O(11)	0,186(2)	0,183(1)
– O(3)	0,285(2)	0,279(1)	– O(16)	0,186(3)	0,194(3)
– O(17)	0,288(1)	0,299(2)	– O(9)	0,196(4)	0,192(1)
– O(3)	0,305(2)	0,297(1)	– O(17)	0,198(3)	0,195(3)
– O(5)	0,307(3)	0,300(2)	– O(4)	0,218(2)	0,216(1)
– O(16)	0,310(1)	0,299(1)	– O(1)	0,221(3)	0,219(1)
– O(4)	0,312(2)	0,304(1)	(Ti, Ga)(3) – $\text{O}_{\text{cep.}}$	0,201	0,200
$\text{Ln}(3) - \text{O}_{\text{cep.}}$	0,277	0,271	$\Delta(\text{Ti}, \text{Ga})(3)\text{O}_6$	$48 \cdot 10^{-4}$	$43 \cdot 10^{-4}$
$\Delta\text{Ln}(3)\text{O}_{12}$	$96 \cdot 10^{-4}$	$104 \cdot 10^{-4}$			
			$\text{Ti}(4) - \text{O}(10)$	0,185(2)	0,181(2)
$\text{Ln}(4) - \text{O}(8)$	0,237(3)	0,251(2)	– O(8)	0,193(3)	0,189(1)
– O(3)	0,239(3)	0,244(2)	– O(16)	0,195(2)	0,197(3)
– O(14)	0,244(2)	0,256(2)	– O(17)	0,196(2)	0,188(3)
– O(9)	0,248(4)	0,245(2)	– O(2)	0,215(2)	0,215(2)
– O(16)	0,263(3)	0,238(1)	– O(3)	0,217(2)	0,218(1)
– O(4)	0,277(3)	0,265(2)	$\text{Ti}(4) - \text{O}_{\text{cep.}}$	0,200	0,198
– O(11)	0,278(3)	0,281(2)	$\Delta\text{Ti}(4)\text{O}_6$	$34 \cdot 10^{-4}$	$49 \cdot 10^{-4}$
– O(5)	0,279(2)	0,266(2)			
– O(10)	0,281(3)	0,294(3)	Ti(5) – 2O(3)	0,183(1)	0,189(1)
– O(2)	0,287(2)	0,298(3)	– 2O(5)	0,197(1)	0,195(2)

Продовження табл. 2

1	2	3	4	5	6
- O(16)	0,289(3)	0,311(1)	- 2O(2)	0,203(1)	0,214(2)
- O(1)	0,311(2)	0,313(2)	Ti(5) - O <sub>cep.</sub>	0,194	0,199
Ln(4) - O <sub>cep.</sub>	0,269	0,272	ΔTi(5)O <sub>6</sub>	19 · 10 <sup>-4</sup>	29 · 10 <sup>-4</sup>
ΔLn(4)O <sub>12</sub>	68 · 10 <sup>-4</sup>	89 · 10 <sup>-4</sup>	Ga(6) - 2O(4)	0,183(1)	0,191(1)
Ln(5) - O(8)	0,232(3)	0,242(2)	- 2O(5)	0,197(1)	0,195(2)
- O(15)	0,233(2)	0,242(2)	- 2O(1)	0,199(2)	0,219(1)
- O(9)	0,237(4)	0,239(2)	Ga(6) - O <sub>cep.</sub>	0,193	0,202
- O(4)	0,248(3)	0,254(2)	ΔGa(6)O <sub>6</sub>	13 · 10 <sup>-4</sup>	38 · 10 <sup>-4</sup>
- O(17)	0,262(3)	0,273(2)			

\* Міжблочні Ln - O відстані.

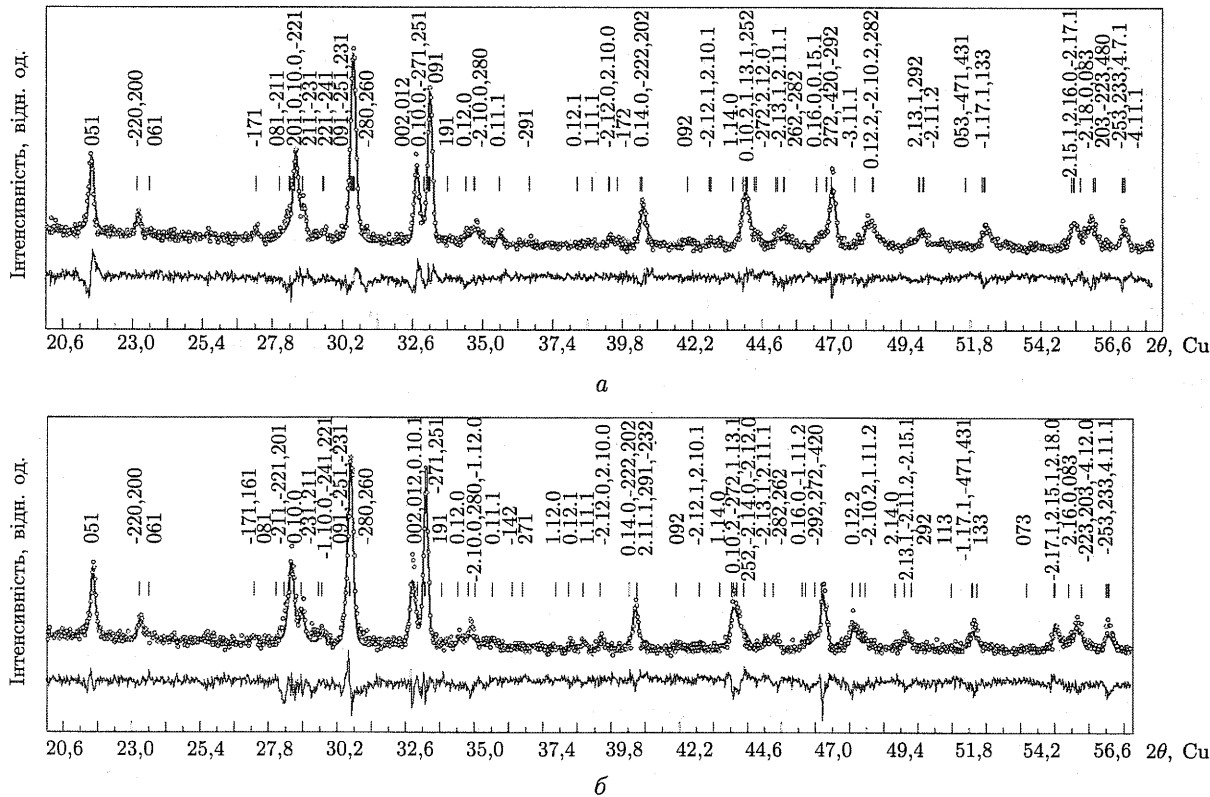


Рис. 1. Фрагменти дифрактограм  $\text{Ln}_5\text{Ti}_4\text{GaO}_{17}$  (а —  $\text{Pr}_5\text{Ti}_4\text{GaO}_{17}$ , б —  $\text{Nd}_5\text{Ti}_4\text{GaO}_{17}$ , експеримент — кружечки, розрахунок — суцільна лінія;  $\text{CuK}_\alpha$ -випромінювання)

шування переважно у внутрішніх шарах перовскітоподібних блоків. Але тут, як і у випадку п'ятишарових сполук  $\text{Ln}_5\text{Ti}_4\text{B}^{\text{III}}\text{O}_{17}$ , спостерігається менш впорядкований (у порівнянні з залізом) розподіл атомів галію у шарах перовскітоподібного блока. Так, якщо в ШПС  $\text{La}_4\text{Ti}_3\text{Fe}_{0,5}\text{Nb}_{0,5}\text{O}_{14}$  атоми заліза розташовані тільки у внутрішніх шарах чотиришарового блока, то в ШПС  $\text{La}_4\text{Ti}_3\text{Ga}_{0,5}\text{Nb}_{0,5}\text{O}_{14}$  у внутрішніх шарах перовскітоподібного блока локалізовано  $\sim 2/3$  атомів галію, а решта знаходиться на границях блока.

Тенденція до упорядкування катіонів в іонних кристалах визначається в основному різницями їх іонних зарядів  $\Delta q$ , радіусів  $\Delta R$  та електронною будовою катіонів. Оскільки різ-

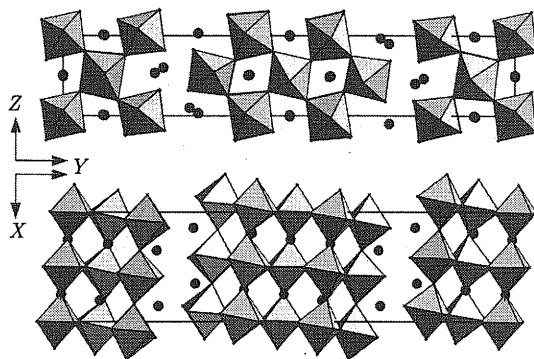


Рис. 2. Проекції структури  $\text{Pr}_5\text{Ti}_4\text{GaO}_{17}$  на площини  $YZ$  та  $XY$  у вигляді октаедрів  $(\text{Ti}, \text{Ga})\text{O}_6$  і атомів  $\text{Pr}$  (●)

ниця зарядів іонів чотиривалентного титану та тривалентного заліза (галію) мінімальна і тому недостатня для виникнення надструктурі розміщення в вищезазначених об'єктах, а іонні радіуси заліза та галію відрізняються лише на 4%, то можна стверджувати, що менш впорядкований (в порівнянні з залізом) розподіл атомів галію у шарах перовскітоподібних блоків сполук типу  $A_nB_n\text{O}_{3n+2}$  зумовлений в основному відмінностями їх електронної будови.

Таким чином, авторами даного повідомлення визначено особливості кристалічної будови перших індивідуальних сполук типу  $A_nB_n\text{O}_{3n+2}$  з атомами  $p$ -елемента в B-підрешітці ШПС —  $\text{Ln}_5\text{Ti}_4\text{GaO}_{17}$  ( $\text{Ln} = \text{Pr, Nd}$ ). Аналіз одержаних і відомих даних вказує на те, що на характер розподілу тривалентних атомів у перовскітоподібних блоках сполук типу  $A_nB_n\text{O}_{3n+2}$  впливає (крім інших факторів) електронна конфігурація катіона  $B^{3+}$ .

1. Lichtenberg F., Herrnberger A., Wiedenmann K., Mannhart J. Synthesis of perovskite-related layered  $A_nB_n\text{O}_{3n+2} = ABO_x$  type niobates and titanates and study of their structural, electric and magnetic properties // Progr. Solid State Chem. – 2001. – **29**, No 1. – P. 1–70.
2. Hwang D. W., Kim H. G., Kim J. et al. Photocatalytic water-splitting over highly donor-doped (110) layered perovskites // J. Catal. – 2000. – **193**, No 1. – 40–48.
3. Тимов Ю. О., Белявіна Н. М., Марків В. Я. та ін. Кристалічна структура  $A^{\text{II}}\text{La}_4\text{Ti}_5\text{O}_{17}$  ( $A^{\text{II}} = \text{Ca, Sr}$ ) // Доп. НАН України. – 2004. – № 10. – С. 147–152.
4. Titov Y. A., Belyavina N. M., Markiv V. Ya. et al. Crystal structure of  $\text{Ca}_5\text{TiNb}_4\text{O}_{17}$  // J. of Alloys and Compounds. – 2005. – **387**, No 1./2. – P. 82–85.
5. Zuniga F. J., Darriet J.  $\text{NaCa}_4\text{Nb}_5\text{O}_{17}$ : a layered perovskite  $A_nB_n\text{O}_{3n+2}$  compound // Acta Crystallogr. – 2003. – C59. – P. i18–i20.
6. Тимов Ю. О., Белявіна Н. М., Марків В. Я., Слободянік М. С. та ін. Кристалічна структура  $\text{Ln}_5\text{Ti}_4\text{FeO}_{17}$  ( $\text{Ln} = \text{La, Pr, Nd}$ ) // Доп. НАН України. – 2005. – № 12. – С. 149–154.
7. Тимов Ю. А., Сич А. М., Мельник В. М., Бондаренко Т. Н. Поліморфізм  $\text{Ca}_2\text{Ta}_2\text{O}_7$  // Журн. неорган. хімии. – 1985. – **30**, № 9. – С. 2433–2435.
8. Марків В. Я., Белявіна Н. М. Апаратно-програмний комплекс для дослідження полікристалічних речовин за їх дифракційними спектрами // Тез. доп. Другої міжнар. конф. “Конструкційні та функціональні матеріали”. КФМ’97. – Львів, 1997. – С. 260–261.
9. Тимов Ю. О., Сич А. М., Марків В. Я. та ін. Шарувата перовскітоподібна структура фаз  $\text{La}_4\text{Ti}_{4-x}\text{Ga}_{x/2}\text{Nb}_{x/2}\text{O}_{14}$  // Доп. НАН України. – 2001. – № 9. – С. 147–150.
10. Тимов Ю. О., Сич А. М., Марків В. Я. та ін. Особливості локалізації гетероатомів Fe, Nb в шаруватій структурі сегнетоелектрика  $\text{La}_4\text{Ti}_4\text{O}_{14}$  // Там же. – 2002. – № 4. – С. 162–166.